

УДК 69.04

*В.В. ЛАЛИН, д-р техн. наук, Санкт-Петербургский государственный политехнический университет; А.В. ЯВАРОВ, инженер (yavarov\_av@mail.ru), Санкт-Петербургский государственный политехнический университет, ООО «ИСП Геореконструкция» (Санкт-Петербурге)*

## Построение и тестирование конечного элемента геометрически нелинейного стержня Бернулли-Эйлера

*В настоящей работе построен конечный элемент геометрически нелинейного стержня, не имеющего ограничений на величины перемещений, поворотов и деформаций. Реализован метод решения задач продольно-поперечного изгиба и анализа закритического поведения стержней. Применение данного метода позволило получить хорошее совпадение численного и аналитического решений в тестовых задачах.*

**Ключевые слова:** стержень Бернулли-Эйлера, конечный элемент геометрически нелинейного стержня, касательная матрица жесткости, системы нелинейных уравнений, тензор Жилина, продольно-поперечный изгиб стержней.

В задачах расчета конструкций на прогрессирующее обрушение [1], действие продольно-поперечного изгиба, анализа закритического поведения требуется учитывать геометрическую нелинейность. В настоящей работе рассматриваются стержневые системы.

Исследованию геометрически нелинейных стержней в контексте использования метода конечных элементов посвящены работы Ю.М. Ветюкова, В.В. Елисеева [2], А.С. Городецкого, И.Д. Евзерова [3], А.В. Перельмутера, В.И. Сливкера [4], П.Ю. Семенова [5], Р. Wriggers [6] и др. исследования. В большинстве работ рассматривается стержень Тимошенко с учетом деформаций поперечного сдвига.

Целью настоящей работы является построение и тестирование конечного элемента геометрически нелинейного стержня Бернулли-Эйлера. При этом авторы не рассматривают вопросы, связанные с заданием внешних сосредоточенных моментов [4].

Задачами исследования являются:

- построение касательной матрицы жесткости конечного элемента стержня, для которого не будут установлены ограничения на величины перемещений, поворотов и деформаций;
- реализация метода решения нелинейных задач;
- решение тестовых задач.

В настоящей работе стержень рассматривается как материальная линия [7, 9]. Стержень упругий и относится к типу стержней Бернулли-Эйлера. В статье используются стандартные обозначения прямого тензорного исчисления [8].

*Основные уравнения нелинейной механики стержней.* В отсчетном положении локальная ось  $x$  стержня совпадает с глобальной осью  $X$  (рис. 1, а). Текущая (актуальная) деформированная конфигурация стержня изображена на рис. 1, б, где показан репер Френе ( $\underline{t}$ ,  $\underline{n}$ ,  $\underline{b}$ ), связанный с осью стержня.

Ось стержня определяется зависимостью радиус-вектора от начальной координаты:

$$\underline{r} = \underline{r}(s), \quad (1)$$

где  $s \equiv x$  – дуговая координата в отсчетном положении.

Повороты сечения стержня, связанные с изгибом и кручением, описываются ортогональным тензором поворота  $\underline{P}(s)$ , который выражается через вектор поворота  $\underline{\varphi}(s)$  [8].

Основными неизвестными при решении задачи в перемещениях являются компоненты вектора  $\underline{r}(s)$  и компоненты вектора поворота  $\underline{\varphi}(s)$ .

Далее штрихи у искомым функций обозначают производные по начальным координатам:

$$(\dots)' = \frac{d}{ds} (\dots). \quad (2)$$

Радиус-вектор в отсчетной конфигурации:

$$\underline{r}_0(s) = \underline{i}s. \quad (3)$$

Компоненты производной радиуса-вектора отсчетного положения  $r'_0$ :

$$r'_0 = \underline{t}_0 = (x'_0 \ y'_0 \ z'_0)^T = (1 \ 0 \ 0)^T. \quad (4)$$

Компоненты производной радиуса-вектора текущей конфигурации  $r'$ :

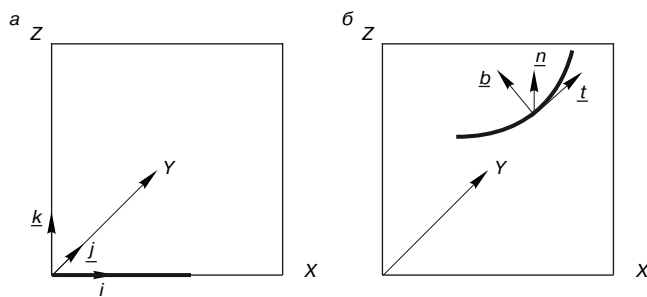


Рис. 1. Конфигурация стержня: а – отсчетная; б – текущая

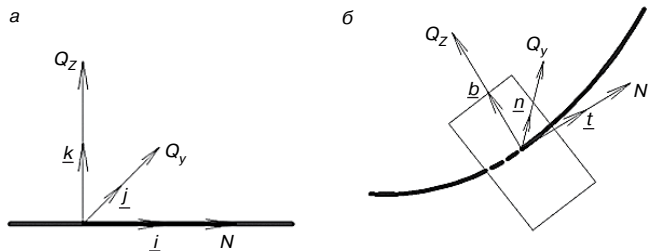


Рис. 2. Переход к повернутым векторам [10]: а – компоненты вектора  $N$  в базе  $i, j, k$ ; б – компоненты вектора  $F$  в базе  $t, n, b$

$$r' = (x' y' z')^T. \quad (5)$$

Как показано в [10], при решении задач в отсчетной конфигурации удобнее использовать повернутые векторы деформаций и усилий. Повернутые векторы – это векторы, отличающиеся от исходных тем, что они выражены в другой базе. Так, вектор продольной и перерезывающих сил  $N$  раскладывается в базе актуальной конфигурации как:

$$N = Nt + Q_y n + Q_z b, \quad (6)$$

где  $N$  – продольная сила;  $Q_y, Q_z$  – перерезывающие силы по соответствующим направлениям.

При переходе к повернутому вектору  $F$  применяется тензор поворота  $P$  (рис. 2) и получается повернутый вектор продольной и перерезывающих сил  $F$ :

$$F = P^T \cdot N = Nt + Q_y j + Q_z k. \quad (7)$$

Как результат получаем выражение для потенциальной энергии деформации стержня  $W$ , выраженное с помощью повернутых векторов:

$$W = \frac{1}{2} \int_0^l (F \cdot \varepsilon + m \cdot \Omega) dx, \quad (8)$$

где  $\varepsilon$  – повернутый вектор продольной и сдвиговой деформаций;  $m$  – повернутый вектор крутящего и изгибающих моментов;  $\Omega$  – повернутый вектор деформаций кручения и изгиба.

Используя повернутые векторы, записываем физический закон [7, 9] как:

$$F = C_0 \cdot \varepsilon, \quad (9)$$

где  $C_0$  – тензор второго ранга жесткости стержня на растяжение-сжатие и сдвиг в отсчетной конфигурации, матричное представление которого имеет вид:

$$C_0 = \begin{pmatrix} C_1 & 0 & 0 \\ 0 & C_2 & 0 \\ 0 & 0 & C_3 \end{pmatrix}, \quad (10)$$

где  $C_1 = EA$  – жесткость стержня на растяжение-сжатие;  $C_2, C_3$  – жесткости стержня на сдвиг. Конкретные выражения жесткостей  $C_2, C_3$  не важны, так как соответствующие им компоненты сдвиговых деформаций для стержня Бернулли-Эйлера равны нулю. По аналогии записывается закон Гука для повернутых векторов  $m$  и  $\Omega$ .

Определение деформаций кручения и изгиба. Квадратичная аппроксимация тензора поворота и тензора Жилина. Для записи выражения деформации кручения и изгиба воспользуемся выражением:

$$\Omega = Z^{-T} \cdot \Phi', \quad (11)$$

где  $Z$  – тензор Жилина, связывающий угловую скорость  $\omega$  и производную по времени от вектора поворота  $\Phi$  [8]:

$$Z^{-T} = I - \frac{1 - \cos \varphi}{\varphi^2} (\varphi \times I) + \frac{\varphi - \sin \varphi}{\varphi^3} (\varphi \varphi - I \varphi^2), \quad (12)$$

где  $\varphi = \sqrt{\varphi_1^2 + \varphi_2^2 + \varphi_3^2}$  – модуль вектора поворота;  $I$  – единичный тензор.

Далее тензоры Жилина и поворота раскладываются в ряд Маклорена, а затем в итоговом выражении для каждого из тензоров оставляются только линейные и квадратичные члены относительно компонент вектора поворота.

Касательная матрица жесткости конечного элемента стержня строится с использованием квадратичных слагаемых относительно компонент векторов перемещений и поворота.

Векторы деформации для теории Бернулли-Эйлера. Запишем выражение для вектора деформации  $\varepsilon$  [9, 10]:

$$\varepsilon = P^T \cdot r' - t_0; \quad (13)$$

$$\varepsilon = (\varepsilon \gamma_y \gamma_z)^T, \quad (14)$$

где  $\varepsilon$  – продольная деформация;  $\gamma_y, \gamma_z$  – деформации сдвига по соответствующим направлениям.

Перейдя к перемещениям ( $r = r_0 + u$ ), получаем выражение для  $\varepsilon$  в форме квадратичного приближения:

$$\varepsilon_{KB} = \begin{pmatrix} \varepsilon_{KB} \\ \gamma_{yKB} \\ \gamma_{zKB} \end{pmatrix} = \begin{pmatrix} -\frac{\varphi_2^2}{2} - \frac{\varphi_3^2}{2} + u' + \varphi_3 v' - \varphi_2 w' \\ \frac{\varphi_1 \varphi_2}{2} - \varphi_3 - \varphi_3 u' + v' + \varphi_1 w' \\ \varphi_2 + \frac{\varphi_1 \varphi_3}{2} + \varphi_2 u' - \varphi_1 v' + w' \end{pmatrix}, \quad (15)$$

где  $u = ui + vj + wk$ .

Выполняем переход к теории Бернулли-Эйлера. Получаем выражение для  $\varphi_2$  и  $\varphi_3$ , используя условия равенства нулю деформации сдвига:

$$\gamma_{yKB} = 0, \quad \gamma_{zKB} = 0; \quad (16)$$

$$\varphi_2 = 0,5 \varphi_1 v' - w' + u' w'; \quad (17)$$

$$\varphi_3 = 0,5 \varphi_1 w' + v' - u' v'. \quad (18)$$

Из (13) с учетом (17) и (18) получаем следующее выражение для  $\varepsilon$  с учетом квадратичного приближения:

$$\varepsilon_{KB} = u' + 0,5 w'^2 + 0,5 v'^2. \quad (19)$$

Особенностью формул (17) и (18) является наличие членов  $u' w', -u' v'$ , соответственно. Данные члены отсутствуют в работе [4], в которой построение зависимостей для стержня выполняется по теории второго порядка исходя из уравнений теории упругости.

Следует отметить, что  $u', v', w'$  в нелинейном случае не являются углами поворота относительно какой-либо оси. Все три величины являются равнозначными. Отметим также, что, удалив из (17–19) квадратичные члены, получаем выражения, известные из линейной теории стержней.

Компоненты вектора деформации кручения и изгиба:

$$\Omega = (\Omega_1 \Omega_y \Omega_z)^T, \quad (20)$$

где  $\Omega_1$  – деформация кручения;  $\Omega_y$  – деформация изгиба в плоскости  $XZ$ ;  $\Omega_z$  – деформация изгиба в плоскости  $YX$ .

Из (11) получаем выражение для деформации кручения и изгиба с учетом квадратичного приближения для стержня Бернулли-Эйлера:

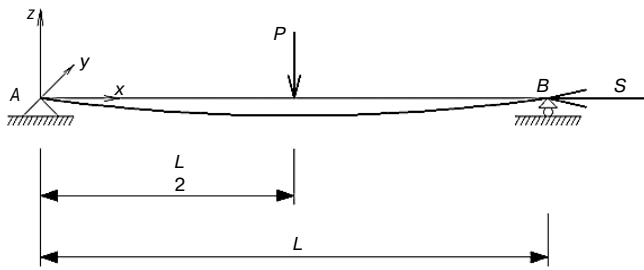


Рис. 3. Расчетная схема задачи

$$\Omega_{\text{кв}} = \begin{pmatrix} \varphi_1' + \frac{w'v''}{2} - \frac{v'w''}{2} \\ w'u'' + \varphi_1 v'' - w'' + u'w'' \\ -v'u'' + v'' - u'v'' + \varphi_1 w'' \end{pmatrix} \quad (21)$$

Построение касательной матрицы жесткости конечного элемента геометрически нелинейного стержня. Для построения касательной матрицы жесткости требуется вычислить вторую производную Гато [3] от энергии деформации (8), получившееся при этом подинтегральное выражение обозначим:  $HH \ 8 \times 8$ . Элементы матрицы  $HH$  зависят от перемещений и поворотов текущего состояния стержня.

Введем столбец перемещений узлов конечного элемента  $\underline{U} \ 14 \times 1$ :

$$\underline{U}^T = (u, v, w, \varphi, u_1', v_1', w_1', u_2', v_2', w_2', \varphi_{2\text{кр}}, u_2', v_2', w_2'). \quad (22)$$

Записываем матрицу функций формы  $NN \ 8 \times 14$ . Как следует из формул (17–19) и (21), функционал содержит вторые производные от всех трех перемещений  $u, v, w$ . Следовательно, для построения совместного конечного элемента необходимо использовать для этих функций кубическую аппроксимацию (полиномы Эрмита). Максимальный порядок производных функции  $\varphi_1$  равен единице, поэтому для этой функции можно использовать линейные функции формы.

Для получения касательной матрицы жесткости необходимо проинтегрировать матрицу  $14 \times 14$ :

$$K_{\text{tang}}(U) = \int_0^L (NN^T \cdot HH \cdot NN) dx. \quad (23)$$

Приведенный алгоритм реализован авторами настоящей работы в прикладном математическом пакете Mathcad. При этом выполняется точное интегрирование по формуле (23).

Для решения систем нелинейных уравнений используется модифицированный пошаговый метод с предиктором и корректором.

### Решение тестовых задач

**Продольно-поперечный изгиб стержня. Закритическое поведение стержня.** Расчетная схема задачи о продольно-поперечном изгибе стержня изображена на рис. 3.

Исходные данные представлены в табл. 1. Нагружение простое – пропорционально увеличиваются вертикальная и осевая силы. Для анализа закритического поведения максимальная величина осевой силы задана равной двум величинам критической силы  $S_{\text{кр}}$ :

$$S_{\text{кр}} = \frac{EI_y \pi^2}{L^2}. \quad (28)$$

В результате применения модифицированного пошагового метода получено хорошее совпадение численного

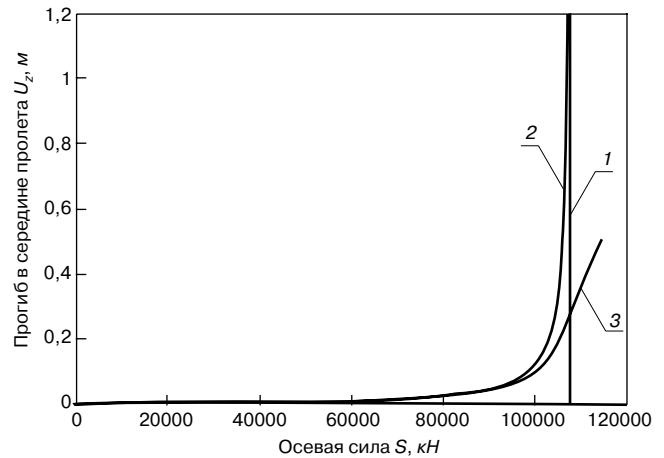


Рис. 4. Продольно-поперечный изгиб стержня: 1 – критическая сила; 2 – аналитическое решение; 3 – численное решение

и аналитического решений [4] до достижения критической силы (рис. 4). Поскольку построение конечного элемента стержня выполнено в геометрически нелинейной постановке без наложения ограничений на перемещения, повороты, деформации и ввиду упругости стержня, возможно проследить закритическое поведение стержня (рис. 5).

**Изгиб балки с шарнирно-неподвижными опорами.** Решение задачи об изгибе стержня с шарнирно-неподвижными опорами приведено в работе С.П. Тимошенко «Статические и динамические проблемы теории упругости (Киев: Наукова думка, 1975. 561 с.). Необходимо отметить, что решение этой задачи возможно только в нелинейной постановке, так как здесь прогиб стержня сопровождается продольным растяжением, а в линейной постановке изгиб не связан с растяжением.

Для данной задачи ввиду растяжения стержня критической силы нет, однако величина продольной силы заранее неизвестна, она должна находиться в процессе решения задачи. Задача решена для случая приложения сосредоточенной силы. Расчетная схема приведена на рис. 6. Размеры и сечение стержня такие же, как и в предыдущей задаче. Вертикальная сила в центре стержня составляет  $P_{\text{соср}} = 100000$  кН.

Таблица 1

Величина	Обозначение	Значение
Длина балки, м	$L$	10
Модуль упругости материала стержня, кПа	$E$	$2,1 \times 10^8$
Площадь поперечного сечения стержня (сечение квадратное), $\text{м}^2$	$A$	0,25
Момент инерции сечения стержня, $\text{м}^4$	$I_y = I_z$	0,0052
Осевая сила, кН	$S = 2S_{\text{кр}}$	215898
Вертикальная сила в центре стержня, кН	$P$	1000
Количество конечных элементов по длине стержня	$N_{\text{элементов}}$	40
Количество шагов	$N_{\text{шагов}}$	2000

Таблица 2

Значение на последнем шаге решения	Численное решение	Решение С.П. Тимошенко	Относительная погрешность, %
Прогиб в середине пролета, м	0,50714	0,49033	3,31
Продольное усилие $N$ , кН	311445	306237	1,67

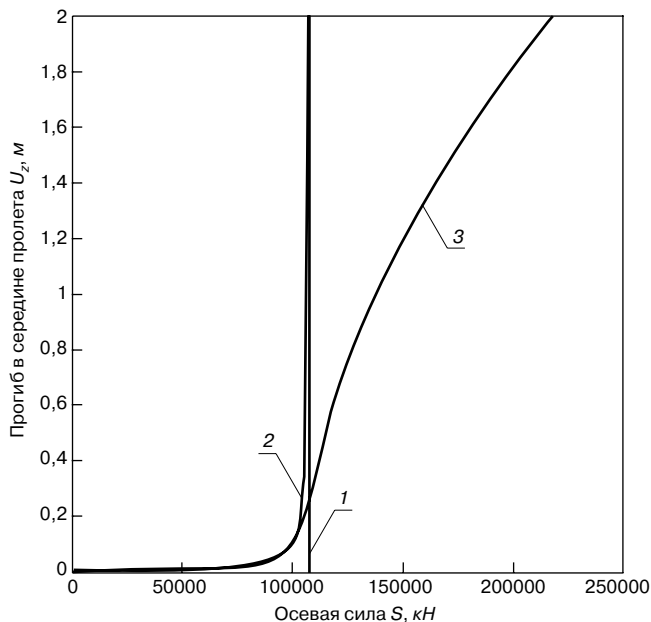


Рис. 5. Закритическое поведение стержня при продольно-поперечном изгибе: 1 – критическая сила; 2 – аналитическое решение; 3 – численное решение

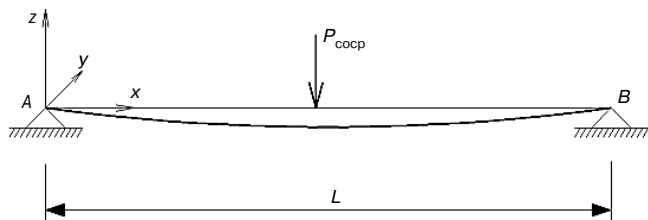


Рис. 6. Расчетная схема задачи

В результате применения модифицированного пошагового метода получено хорошее совпадение численного и аналитического решений (табл. 2). Результаты расчета также проиллюстрированы на рис. 7, 8.

### Заключение

- В настоящей работе решены следующие задачи:
- выполнено аналитическое построение касательной матрицы жесткости конечного элемента геометрически нелинейного стержня Бернулли-Эйлера, не имеющего ограничений на величины перемещений, поворотов и деформаций;
  - разработан алгоритм численного построения касательной матрицы жесткости и решения системы нелинейных уравнений. Решены задачи анализа закритического поведения стержня и продольно-поперечного изгиба. Применение построенного конечного элемента позволило получить хорошее совпадение численного и аналитического решений в тестовых задачах.

### Список литературы

1. Тихонов И.Н. Принципы расчета прочности и конструирования армирования балок перекрытий зданий из монолитного железобетона для предотвращения прогрессирующего разрушения // Жилищное строительство. 2013. № 2. С. 40–45.

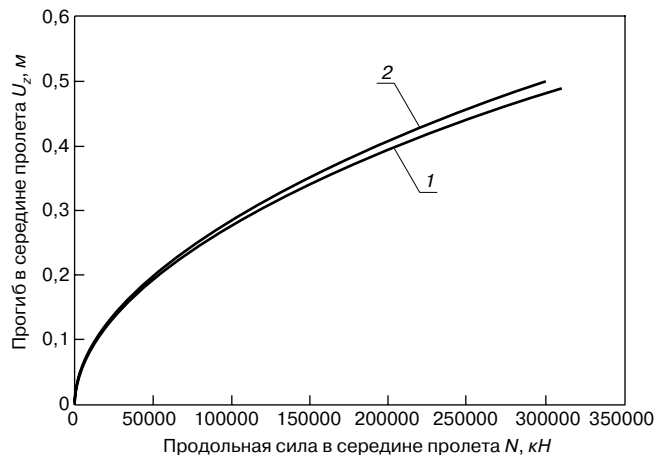


Рис. 7. График зависимости прогиба в середине пролета от продольной силы: 1 – решение С.П. Тимошенко; 2 – численное решение

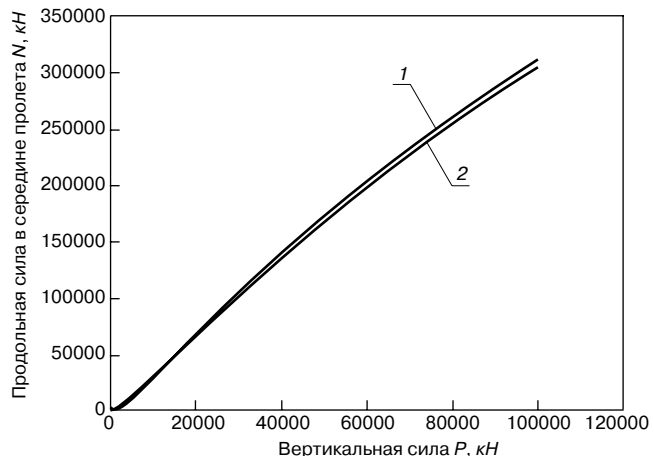


Рис. 8. График зависимости продольной силы от вертикальной: 1 – решение С.П. Тимошенко; 2 – численное решение

2. Ветюков Ю.М., Елисеев В.В. Моделирование каркасов зданий как пространственных стержневых систем с геометрической и физической нелинейностью // Вычислительная механика сплошных сред. 2010. № 3. С. 32–45.
3. Городецкий А.С., Евзеров И.Д. Компьютерные модели конструкций. Киев: Факт, 2005. 344 с.
4. Перельмутер А.В., Сливкер В.И. Устойчивость равновесия конструкций и родственные проблемы. М.: Издательство СКАД СОФТ, 2007. Т. 1. 704 с.
5. Семенов П.Ю. Стержневой конечный элемент для расчетов с большими перемещениями и вращениями // Проблемы нелинейной механики деформируемого твердого тела. Труды II международной конференции. Казань: НИИММ им. Н.Г. Чеботарева, 2009. С. 24–29.
6. Wriggers P. Nonlinear Finite Elements Methods. Berlin: Springer – Verlag Berlin Heide lberg, 2008. 559 p.
7. Елисеев В.В. Механика упругих стержней. СПб.: СПбГТУ, 1994. 84 с.
8. Жилин П.А. Векторы и тензоры второго ранга в трехмерном пространстве. СПб.: СПбГТУ, 2001. 275 с.
9. Жилин П.А. Прикладная механика. Теория тонких упругих стержней. СПб.: Изд-во политехнич. ун-та. 2007. 100 с.
10. Лалин В.В. Различные формы уравнений нелинейной динамики упругих стержней // Механика материалов и прочность конструкций. Труды СПбГПУ № 489. СПб.: СПбГПУ, 2004. С. 121–128.